



## مطالعه اثر خلوص گاز نیتروژن و طول محیط فعال بر پارامترهای لیزری در سیستم نوسانگر - تقویت کننده لیزر نیتروژن

کامبیز رحیمیان، سهیل قریشی، اکبر حربی\*

مرکز تحقیقات و کاربرد لیزر، سازمان انرژی اتمی ایران، صندوق پستی: ۱۱۳۶۵-۸۴۸۶، تهران - ایران

**چکیده:** در یک سیستم نوسانگر- تقویت کننده لیزر نیتروژن از نوع TE-TE که طول مؤثر محیط فعال تقویت کننده ۳۱ سانتی‌متر و هر دو نوسانگر و تقویت کننده آن با پیش‌یونش کورونا فعال است، اندازه گیری ضریب بهره ( $g_0$ ) و چگالی انرژی اشباع ( $E_s$ ) در فشارهای مختلف گاز و درجه‌های خلوص متفاوت انجام گرفته است. جزئیات مرتبط با این اندازه گیری‌ها جدولیندی، یا به صورت نمودارهای تجربی ارائه شده‌اند. برای بررسی اثر اکسیده شدن سطوح الکترودها بر پارامترهای لیزری، مقادیر اندازه گیری شده در مواردی هم که الکترودهای تقویت کننده کار کرده بوده و تمیز شده‌اند نیز ارائه شده است. در نهایت، مقادیر اندازه گیری شده ( $g_0$ ) همراه با اندازه گیری‌های پیشین برای تقویت کننده طویل به طول ۹۴ سانتی‌متر، همچنین مقادیر گزارش شده برای کانال‌های لیزر به طول‌های ۴۵ و ۵۰ سانتی‌متر، مقایسه شده‌اند. این مقایسه نشان می‌دهد که  $g_0$  از نمودار ویژه‌ای تبعیت می‌کند که به طول کانال لیزر بستگی شدید دارد. این اندازه گیری‌ها یانگر آن است که طول کانال لیزر در حالی که سهم قابل ملاحظه‌ای در مقادیر  $g_0$  دارد، سهم استفاده از گازها با درجه‌های خلوص متفاوت، همچنین تمیز کردن الکترودها، حداقل به ۱۹.۴٪ و ۱.۹٪ در فشار ۱۰۰ تور محدود می‌شود.

**واژه‌های کلیدی:** اندازه گیری‌های ضریب بهره و انرژی اشباع، نوسانگر- تقویت کننده، لیزر نیتروژن، درجه خلوص گاز، پیش‌یونش کورونا

## Study of the Effect of N<sub>2</sub> Gas Purity and the Length of Active Medium on Laser Parameters in an Oscillator-Amplifier N<sub>2</sub>-Laser System

K. Rahimian, S. Ghoreyshi, A. Hariri\*

Laser Research Center, AEOI, P.O. Box: 11365-8486, Tehran - Iran

**Abstract:** In an Oscillator-amplifier N<sub>2</sub>-laser system of the type TE-TE with the amplifier active effective length of 31 cm, both operating with corona-preionizer, the gain coefficient ( $g_0$ ) and saturation energy density ( $E_s$ ) measurements have been carried out for different gas pressures and gas purities. The details of our measurements are tabulated or presented graphically. The obtained values for the cases of used or cleaned electrodes are also presented for the comparison. At last, our  $g_0$  values along with those of our previously reported values for the active length of 94 cm and other reported values for the active lengths of 45 and 50 cm have been introduced for the comparison, and it was found that the measured values of  $g_0$  follow a characteristic curve showing their strong dependency on the length of laser channels. The present observation indicated that while the length of laser channel has the major contribution to the  $g_0$  values, the contributions of gas purities and cleaned electrodes are limited to at most 19.4% and 1.9%, respectively, at the gas pressure of 100 Torr.

**Keywords:** gain and saturation energy measurements, oscillator-amplifier, nitrogen laser, gas purity, corona-preionization



## ۱- مقدمه

اندازه‌گیری‌های پارامتری و محاسبات شیوه‌سازی اختصاص داده شده است. ضریب بهره کیکی از پارامترهایی است که گروه‌های مختلف نسبت به اندازه‌گیری آن اقدام کرده‌اند. نتایج این اندازه‌گیری‌ها در مقاله پیشین ما به صورت یک جدول عرضه شده است [۸]. نگرشی کوتاه به این جدول نشان می‌دهد که بعضی از ضرایب اندازه‌گیری شده بزرگ‌تر از حد متعارف و بعضی هم کوچک‌تر از مقدار متوسط اندازه‌گیری‌ها است. در مرحله اول چنین به نظر می‌رسد که از روش‌های مختلف اندازه‌گیری اعداد متفاوتی به دست می‌آیند، یا آنکه ناخالصی گاز به کار رفته باعث پراکندگی نتایج می‌شود. از طرف دیگر، در هیچ یک از مطالعاتی که تاکنون در این مورد در سطح جهانی انجام گرفته گزارشی درباره نقش درجه خلوص گاز نیتروژن ارائه نشده است و سازندگان لیزر تنها استفاده از گاز N<sub>2</sub> با درجه خلوص بالاتر از ۹۹/۹۹٪ را پیشنهاد داده و اشاره کرده‌اند که استفاده از گاز با درجه خلوص نامناسب، اکسیده‌شدن الکتروودها را به همراه دارد و به تدریج علاوه بر افت انرژی خروجی لیزر، باعث خواهد شد که از مدت عمر مفید دستگاه کاسته شود. بنابراین با اندازه‌گیری پارامترهای لیزری، از جمله ضریب بهره g<sub>0</sub> و چگالی انرژی اشباع E<sub>0</sub>، می‌توان پی بردن نقش درجه خلوص گاز در مقادیر اندازه‌گیری شده چگونه ظاهر می‌شود.

علاوه بر آن با توجه به داده‌های اخیر پژوهشگران در اندازه‌گیری مستقیم g<sub>0</sub> و E<sub>0</sub> با استفاده از روش نوسانگر-تقویت‌کننده (OSC-AMP) با یک مرحله تقویت و کانال‌های لیزر به طول ۴۵ cm [۹] و ۵۰ cm [۱۰] و گزارش اندازه‌گیری اخیرمان برای لیزر کانال بلند ۹۴ سانتی‌متر که ضریب بهره را حدود ۰/۰۶ cm<sup>-۱</sup> به دست داده است [۶]، می‌توان استنباط کرد که نقش طول کانال لیزرهای N<sub>2</sub> با تحریک عرضی، ممکن است در ضریب بهره بسیار مؤثر باشد. این تأثیر باید شیوه به رفتار غیرعادی g<sub>0</sub> در لیزر N<sub>2</sub> با تحریک طولی بر حسب طول تقویت‌کننده باشد که قبل از آن را گزارش داده‌ایم [۸].

در گزارشی که ارائه می‌شود، اندازه‌گیری پارامترهای لیزر g<sub>0</sub> و E<sub>0</sub> با استفاده از یک نوسانگر-تقویت‌کننده لیزر N<sub>2</sub> با پیش‌یونش کورونا و به طول مؤثر کانال تقویت‌کننده برابر با ۳۱ cm برای گاز نیتروژن با درجه‌های خلوص متفاوت صورت گرفته است و نشان داده می‌شود که g<sub>0</sub> و E<sub>0</sub> علاوه بر آنکه به

لیزرهای نیتروژن به سبب کاربرد زیادشان به عنوان چشممه مولد پرتو فرابنفش، مورد توجه‌اند. این لیزرهای از بد و اختراع تاکنون توسعه پژوهشگران متعدد در اکثر آزمایشگاهها مورد مطالعه قرار گرفته‌اند و مقالات پژوهشی بسیاری در زمینه‌های تجربی، فنی و نظری درباره آنها منتشر شده است. با وجودی که لیزرهای حالت جامد در گستره فرابنفش (UV) در سال‌های اخیر متحول شده‌اند، لیکن اهمیت لیزرهای گازی در ایجاد باریکه فرابنفش و فرابنفش دور رو به افزایش است، زیرا بعضی از طول‌موج‌های لیزرهای گازی بسیار کوتاه‌تر از طول موج‌های ناشی از به کار گیری لیزر حالت جامد با تبدیل بسامدشان در هارمونیک‌های مراتب بالا هستند. کوتاه‌ترین طول موج در لیزر نودیمیوم یا گ در هارمونیک پنجم آن ۲۱۰ nm و با سیستم پیچیده مولد پارامتری ۱۹۳ nm است، ولی توان متوسط آنها روى هم‌رفه کمتر از توان متوسط لیزرهای گازی در ناحیه UV دور می‌باشد.

لیزرهای N<sub>2</sub> در طول موج ۳۳۷ nm چه به صورت تحریک طولی و چه به صورت تحریک عرضی به کرات به صورت موضوع‌های مختلف در ایران مورد مطالعه قرار گرفته‌اند [۸ تا ۱۰]. این لیزرهای را با به کار گیری از یک پیش‌یونش مناسب می‌توان به لیزرهای اگزاپیر تبدیل کرد، لیکن به علت مسائل خورندگی شدید گازهای مورد استفاده در لیزرهای اگزاپیر، مانند F<sub>2</sub>، HCl، با بکاربردن نیتروژن به عنوان محيط فعال می‌توان بسیاری از ویژگی‌های تخلیه الکتریکی، پیش‌یونش، الکتروودها (جنس، شکل و نیمرخ آنها)، اپتیک و نظایر آن را مورد مطالعه قرار داد، زیرا همگی در گروه لیزرهای سریع خود پایان‌دهنده محسوب می‌شوند و دارای سازو کارهای نسبتاً مشابه می‌باشند. علاوه بر آن، کاربرد مستقیم لیزرهای نیتروژن به ویژه لیزرهای نیتروژن با تحریک عرضی، به علت چگالی انرژی بالای آنها در دمشن لیزرهای رزینه‌ای، دستگاه‌های مناسبی برای مطالعات بینابنیابی محسوب می‌شوند که هم به سبب هزینه پایین تهیه آنها و هم سهولت نگهداری دستگاه‌ها مورد توجه می‌باشند.

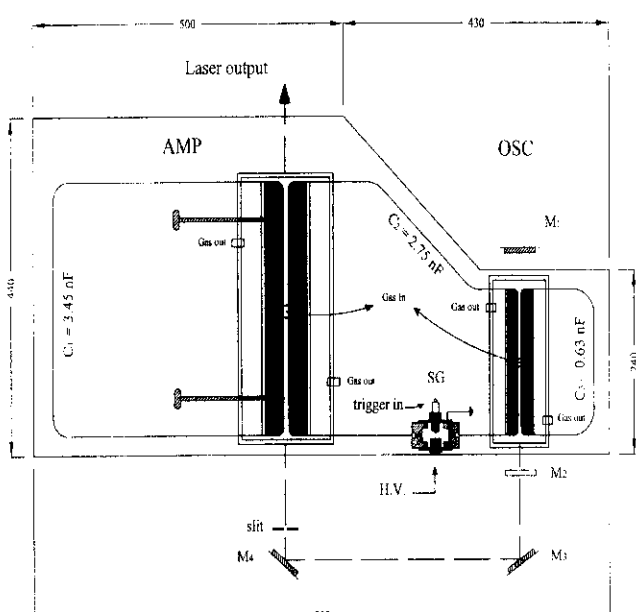
در مطالعاتی که درباره لیزر نیتروژن تاکنون انجام گرفته، هدف اصلی در اکثر مقاله‌های ارائه شده معرفی طراحی و ساخت لیزرهای بوده است. تعداد محدودی از فعالیت‌ها هم به



انرژی اشباع  $E_s$  است. به همین جهت باید روندی اتخاذ شود که موجب افزایش پارامتر  $E$  گردد تا بتوان خروجی قابل ملاحظه‌ای از لیزر دریافت کرد.

## ۲- شرح آزمایش

در این آزمایش از سیستم نوسانگر- تقویت کننده، که هر دو با پیش‌یونش کورونا فعال هستند استفاده شده است (شکل ۱). کلیات مربوط به نحوه عملکرد سیستم OSC-AMP به صورت تخلیه عرضی و طولی قبلًا در دو گزارش ارائه شده است [۶ و ۸]. در سیستم مورد بحث، بخش نوسانگر دارای الکترودهای از جنس آلومینیوم به ضخامت ۶mm و طول ۱۹cm، و فاصله الکترودها از صفحه کورونا ۱۰mm است. الکترودها در یک لوله نیم استوانه‌ای از جنس پلکسی گلاس به قطر ۱۲cm که دو انتهای آن با پنجره‌های سلیکای مذاب بسته شده قرار داده شده‌اند. گاز نیتروزن از بالای محفظه وارد و از دو طرف دیگر آن خارج می‌شود. بخش تقویت کننده، سیستم بزرگتری است که امکان تغییر دادن فاصله الکترودها را دارد. طول کلی الکترودها ۳۴cm طول مؤثرشان ۳۱cm و ضخامتشان ۱۰mm است که لبه‌های آنها به صورت مدور ساییده شده‌اند. فاصله سطح الکترودها از سطح کورونا ۳۵mm است. هنگامی که این سیستم به صورت نوسانگر کار می‌کند، نشان داده‌ایم که به علت فاصله سطح



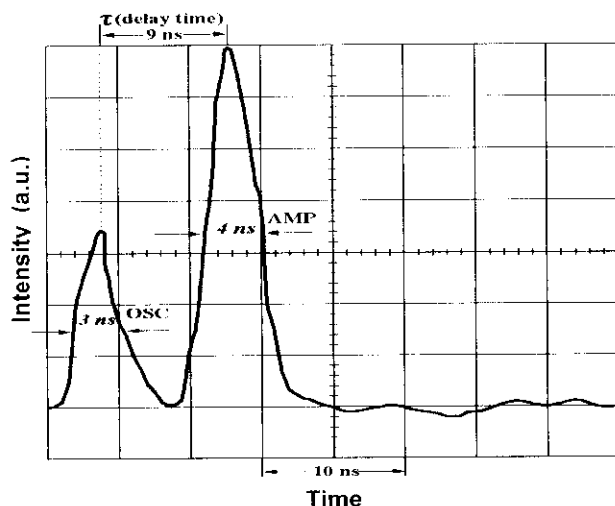
شکل ۱- طرح نوسانگر- تقویت کننده لیزر نیتروزن با پیش‌یونش کورونا (ابعاد شکل بر حسب mm است).

فشار گاز  $N_2$  بستگی دارند، نسبت به درجه خلوص گاز به کار رفته و تمیز بودن الکترودها نیز حساست. این حساسیت با درجه کمتری در پارامتر  $g_0$  و با درجه بیشتری در پارامتر  $E_s$  نمایان می‌شود. با افزایش درجه خلوص گاز، انرژی خروجی لیزر افزایش می‌باید، و این افزایش شامل پارامتر  $E_s$  تیز خواهد بود و همچنین، استفاده از گاز با درجه خلوص بالا و الکترودهای تمیز شده، کاهش پارامتر  $g_0$  را به همراه خواهد داشت.

نتایج اندازه‌گیری به صورت نمودار و جدول ارائه شده‌اند و در نهایت ضریب بهره اندازه‌گیری شده با استفاده از سایر گزارش‌های منتشر شده بر حسب طول کانال لیزر ترسیم شده است. این ترسیم نشان می‌دهد، در لیزرهای  $N_2$  که در برگیرنده سایر لیزرهای خودپایاندار نیز می‌باشد،  $g_0$  به شدت به طول کانال لیزر بستگی دارد. نمودار  $g_0$  پس از گذر از یک ماکریموم به شدت افت می‌کند و درجه خلوص گاز در گستره ۱۱۰-۷۰ تور تنها موجب تغییراتی در حد بیشینه به مقدار ۳۹٪ می‌شود. در حالی که تغییرات فشار گاز در گستره ۷۰-۱۱۰ تور از نوع بسیار خالص تحقیقاتی، تنها به مقدار ۲۶٪ نسبت به بالاترین مقدار  $g_0$ ، در تغییرات آن سهیم است. با استفاده از داده‌های موجود می‌توان دریافت که مقدار تغییرات  $g_0$  ناشی از کاربرد دو لیزر با کانال‌های متوسط و بلند حدود ۷۵٪ می‌باشد؛ یعنی در واقع نقش اصلی در تغییرات ضریب بهره، مرتبط با انتخاب طول کانال لیزر است. بنابراین می‌توان ادعا کرد که یکی از روابط‌های تحقیقاتی مرتبط با ارائه بالاترین مقدار ضریب بهره، به علت بستگی  $g_0$  به طول کانال، دستخوش تحول خواهد شد. چون در کلیه اندازه‌گیری‌های چگالی انرژی خروجی  $E_s$  بر حسب فشار گاز، افزایش تدریجی در  $E_s$  مشاهده می‌شود که پس از گذر از یک مقدار بیشینه رو به آفت می‌رود، به طوری که چگالی توان را می‌توان از رابطه  $\tau / P_d = \frac{1}{2} E_s g_0$  به دست آورد که در آن  $\tau$  پهنه‌ای تپ لیزری است [۸]، بنابراین با توجه به تغییرات نسبتاً کند  $g_0$ ، تغییرات  $E_s$  کم و بیش از تغییرات  $E_s$  تعیت می‌کند و بیشینه تغییرات  $E_s$  ناشی از کاربرد گاز با درجه‌های خلوص متفاوت است و در گستره ۷۰-۱۱۰ تور، حدود ۵۷٪ می‌باشد. بنابراین در مورد لیزری با طول کانال مفروض، مهمترین عامل که ممکن است در خروجی لیزر نقش اساسی داشته باشد چگالی



برای ایجاد پالس‌های لیزری از نوسانگر و تقویت کننده، از یک فوتو دایود خلاء با زمان صعود  $100\text{ ps}$  (ITL، مدل ۱۸۵۰) و یک اسیلوسکوپ تکترونیکس مدل ۷۹۰۴ با واحد in-Plug ۷A۱۹ ۷A۱۹ همراه با صافی‌های تضعیف کننده نوری استفاده شد. رویه‌مرفته تأخیر زمانی مناسب به وسیله فشار گاز OSC و AMP، طول مسیر اپتیکی و یا تغییر فاصله الکترودها حاصل می‌شود. در آزمایش انجام گرفته، فاصله الکترودهای OSC ثابت و  $5\text{ mm}$  در نظر گرفته شد. با آنکه فاصله الکترودهای AMP بین  $3$  تا  $10$  میلی‌متر قابل تغییر بود در آزمایش فعلی این فاصله  $7\text{ mm}$  انتخاب شد. برای اندازه‌گیری چگالی انرژی، یک فوتو دایود کالیبره شده در طول موج  $337\text{ nm}$  بکار رفت. برای کالیبره کردن، یک کالریمتر دیسکی (Scientech Model 360001، Scientech Model 1362) مورد استفاده همراه با نمایشگر «OSC» مورد استفاده قرار گرفت. ضریب تضعیف صافی‌های تضعیف کننده که برای تغییر دادن انرژی ورودی به تقویت کننده به کار می‌روند نیز در طول موج  $337\text{ nm}$  کالیبره شدند. شکل ۲ پالس لیزری را که از خروجی تقویت کننده و نوسانگر دریافت شده است نشان می‌دهد. برای دریافت این پالس، خروجی از OSC توسط یک تیغه نازک مقسم برتو که سر راه باریکه قرار می‌گیرد همراه با صافی‌های ND وارد آشکارساز فوتو دایود خلاء گردید. خروجی از AMP را نیز توسط چند آینه و صافی‌های ND وارد آشکارساز کردیم. تأخیر زمانی این دو پالس، با انتخاب مسیر دو باریکه برابر  $9\text{ ns}$  انتخاب شد. پهنهای پالس نوسانگر  $3\text{ ns}$  و پهنهای پالس تقویت کننده  $4\text{ ns}$  در این شکل نشان داده شده است.



شکل ۲- پالس‌های لیزری دریافت شده از خروجی نوسانگر و تقویت کننده با پهنهای  $3$  و  $4$  نانوثانیه و با  $9\text{ ns}$  تأخیر.

الکترودها از سطح کورونا، پیش‌یونشی با قدرت ضعیف داریم. با وجود این، سیستم قادر است تا فشار  $1\text{ atm}$  ۱ کار کند [۴]. گاز نیتروژن در این سیستم نیز از بالای محفظه مکعب مستطیلی شکل در برگیرنده مجموعه الکترودها وارد و از دو طرف محفظه خارج می‌شود. تغذیه هر دو سیستم به وسیله یک مدار چاپی «مدار بولومیلن» به ابعاد کلی  $44 \times 44 \times 93\text{ cm}^3$  که به دو قسمت  $43 \times 24 \text{ cm}^3$  برای نوسانگر و  $50 \times 44 \text{ cm}^3$  برای تقویت کننده تقسیم شده است، همراه با یک گاف جرقه‌زن (SG)، یک سیستم تریگر و یک منع تغذیه HV انجام می‌گیرد. جریان سطحی کورونا با برداشتن دو نوار مسی به پهنه‌های  $23\text{ mm}$  در بخش نوسانگر و  $30\text{ mm}$  در تقویت کننده حاصل می‌شود. با این ترتیب، سیستم مورد بحث OSC-AMP برای ذخیره انرژی دارای سه خازن خواهد بود که ظرفیت‌های آنها  $0/63\text{ m}^3$  و  $2/75\text{ m}^3$  و  $3/45\text{ m}^3$  نانوفاراد می‌باشد. ولتاژ کاری هر دو سیستم که از یک منع تغذیه تأمین می‌شود،  $14\text{ kV}$  انتخاب شده است و در تمام مدت آزمایش ثابت می‌ماند. برای قرائت فشار کاری دو سیستم OSC و AMP از دو فشارسنج جیوه‌ای استفاده می‌شد که توسط یک فشارسنج نوع BA 220 Baratron، MKS مورد استفاده از فشار پایین کنترل می‌شد. به علت استفاده از لوله‌های پلاستیکی به منظور انتقال و تخلیه گاز نیتروژن، همچنین استفاده از پلکسی گلاس در ساخت محفظه‌ها و اتصالات، حد پایین فشار گاز سیستم حدود  $2$  تا  $3$  تور بوده است. با اندازه‌گیری‌های انجام گرفته می‌توان پیش‌بینی کرد که، با کوتاه کردن طول لوله‌های تخلیه و تزریق گاز، همچنین بهینه‌سازی محفظه لیزرها به لحاظ جنس، اتصال قطعات به یکدیگر و اتصال آنها به صفحه مدار چاپی، امکان دارد سیستم را به خلاء کاملاً بالا برد، تا چگالی انرژی اشباع به مقادیر بیشتری افزایش یابد.

### ۳- نتایج اندازه‌گیری

روش به کار رفته در اندازه‌گیری پارامترهای لیزری: ضریب تقویت و چگالی انرژی اشباع قبل از دو مقاله گزارش شده است [۶] و [۸]. در این اندازه‌گیری، تعیین رفتار زمانی پالس‌های نوسانگر و تقویت کننده لیزر در به دست آوردن بهترین شرایط تقویت در ناهمزمان سازی الکتریکی دو پالس، و اندازه‌گیری چگالی انرژی ورودی به تقویت کننده و خروج از آن نیاز است. [www.SID.ir](http://www.SID.ir)



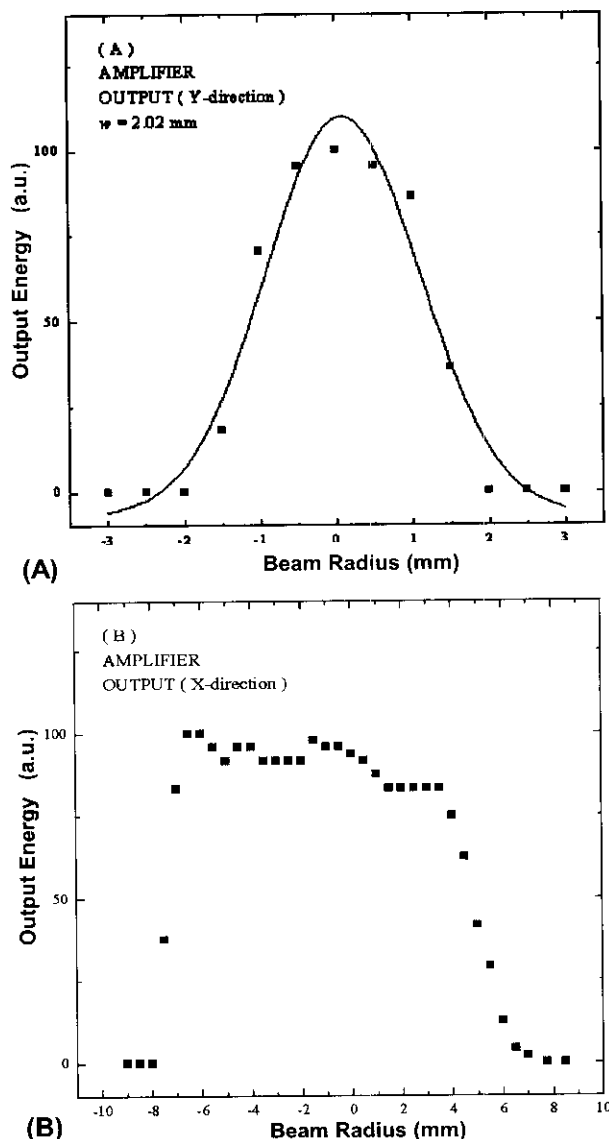
## Archive of SID

مرتبط با توزیع شدت، مقدار شعاع پرتو  $w_{2y} = 202 \text{ mm}$  مکانی که صفحه فتو دایود همراه با روزنه قرار داده شده است و فاصله آن از خروجی  $\text{AMP cm} = 143$  است به  $d = 143 \text{ cm}$  دست می‌آید. با اندازه گیری واگرایی باریکه لیزر در امتداد  $y$ ،  $w_{ly} = w_{2y} - \theta_y(z_2 - z_1)$  میلی‌رادیان و با استفاده از رابطه  $w_{ly} = w_{2y} - \theta_y(z_2 - z_1) = 1133 \text{ mm}$  که  $d = z_2 - z_1 = 143 \text{ cm}$  است،  $w_{lx} = 507 \text{ mm}$  به دست می‌آید. برای امتداد  $x$ ، نیز با توجه به واگرایی اندازه گیری شده  $w_{lx} = w_{2x} - \theta_x(z_2 - z_1)$  میلی‌رادیان و رابطه  $w_{lx} = 507 \text{ mm}$  و اندازه گیری  $w_{2x} = 9 \text{ mm}$  مقدار خواهد شد. به این ترتیب، سطح مقطع خروجی از  $\text{AMP}$  خواهد شد. به این ترتیب، سطح مقطع خروجی از  $\text{AMP}$  خواهد شد.  $A_0 = 2 w_{lx} w_{ly} = 0.126 \text{ cm}^2$

رابطه  $E_o = \frac{E_i}{A_i}$  به دست می‌آید که  $E_o$  انرژی خروجی از تقویت کننده است. سطح مقطع باریکه ورودی به تقویت کننده با روش هندسی، مقدار  $A_i = 0.18 \text{ cm}^2$  را به دست می‌دهد و چگالی انرژی ورودی به تقویت کننده از رابطه  $E_i = \frac{E_o}{A_o}$  به دست می‌آید که  $E_i$  انرژی باریکه ورودی  $\text{OSC}$  به بخش تقویت کننده است.

برای اندازه گیری ضریب بهره، چگالی‌های انرژی ورودی به تقویت کننده و خروجی از آن ( $E_i$  و  $E_o$ ) می‌باید اندازه گیری شوند. نمونه‌ای از این اندازه گیری در فشار ۱۱۰ تور نوسانگر و ۱۰۰ تور تقویت کننده در شکل ۴ ارائه شده است. این اندازه گیری در ولتاژ کاری  $14 \text{kV}$  و رگبار لیزری  $10 \text{ Hz}$  انجام گرفته است. در شکل ۵ نتایج همان اندازه گیری شکل ۴ به صورت بهره  $G$  بر حسب دسی‌بل (dB)، با استفاده از تعريف  $E_i = 10 \log(E_o/E_i)$ ، بر حسب لگاریتم چگالی انرژی ورودی  $E_i$  نشان داده شده است. ترسیم اخیر، به منظور مشاهده رفتار بهره در انرژی‌های پایین ورودی به تقویت کننده ارائه شده است. نمودارها در هر دو شکل حاصل از برازش رابطه ساده شده فرانتر-نادویک [۱۱] به داده‌های تجربی چگالی‌های انرژی می‌باشد [۶، ۷ و ۸] و به طریق موفقیت‌آمیزی در مورد لیزرهای گازی که طول مدت پالس ورودی آنها کوتاه‌تر از طول عمر تراز بالایی محیط لیزری می‌باشد به کار رفته است [۱۲ و ۱۳]. در تقریب فرانتر-نادویک، فرض بر این است که فرایندهای تبادل انرژی در محیط لیزری، وقت کافی نخواهد داشت که در طول مدت پالس و بر همکنش

برای تعیین توزیع شدت باریکه لیزر در خروج از  $\text{OSC}$  و  $\text{AMP}$ ، از روش روش یک روزنه (به قطر  $700 \mu\text{m}$ ) که در مقابل فتو دایود قرار داده شده بود، استفاده شد. به تجربه نیز دریافتیم که روش هندسی که با ترسیم خروجی لیزر روی یک صفحه مدرج و تعیین مساحت آن انجام می‌گیرد دارای دقت کافی می‌باشد. شکل ۳ شدت خروجی لیزر از  $\text{AMP}$  را در دو امتداد  $X$  (افقی) و  $y$  (عمودی) نشان می‌دهد. در امتداد  $y$  (شکل ۳A) توزیع شدت به صورت تابع گاؤسی است، لیکن در امتداد  $X$  توزیع تابع تقریباً حالت یک تابع شبه مستطیلی دارد (شکل ۳B). با برازش تابع  $\epsilon(y) = \epsilon(0) \exp(-2y^2/w_y^2)$  به داده‌های



شکل ۳- نتایج اندازه گیری حاصل از روش یک فتو دیود با روزنه‌ای به قطر  $700 \mu\text{m}$  که در مقابل خروجی  $\text{AMP}$  و در فاصله  $143 \text{ cm}$  از آن قرار می‌گیرد. نمودار (A) در امتداد  $y$  و (B) در امتداد  $x$  توزیع شدت خروجی  $\text{AMP}$

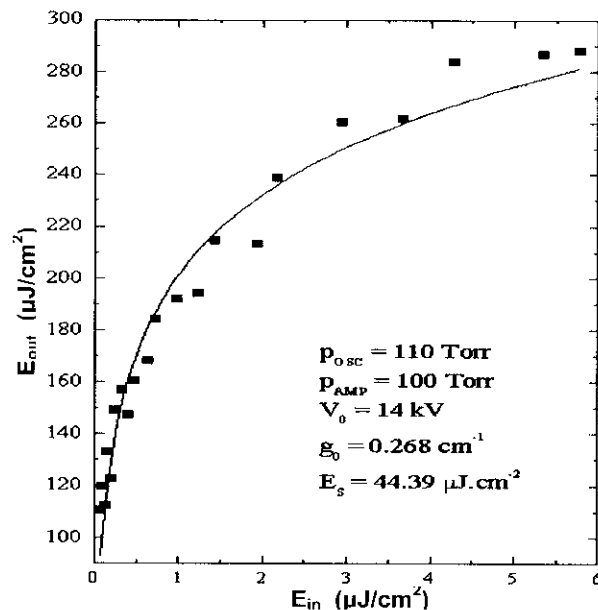


عمری حدود ۴۰ ns دارد، رابطه فرانتر - نادویک دارای اعتبار می باشد و قبل اهم این رابطه را در فشارهای گاز خیلی پایین گاز نیتروژن حدود ۵-۴ تور که فرایند غالب در پهن شدگی خط از نوع دوپلری است، به کار برده ایم [۷ و ۸].

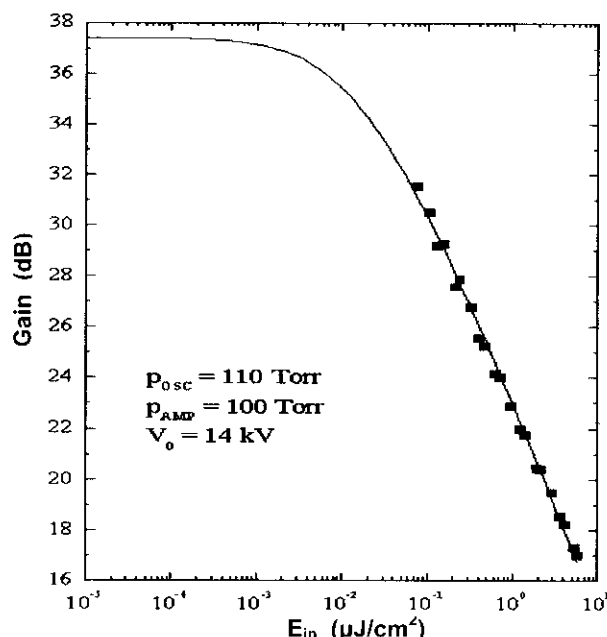
نتایج اندازه گیری های  $g_0$ ،  $E_s$  و  $E_o$  برای هر سه آزمایش در شرایط بکار رفته در جدول ۱ مندرج است. فشار نوسانگر ۱۱۰ تور و ثابت بوده و در مورد تقویت کننده، فشارهای گاز ۷۰، ۸۰، ۹۰ و ۱۰۰ و ۱۱۰ تور انتخاب شده است. برای مقایسه اعداد جدول سه دسته نمودار ارائه کرده ایم که شامل ۲ پارامتر لیزری ( $g_0$  و AMP) و چگالی انرژی خروجی  $E_o$  بر حسب فشار گاز  $E_s$  (E<sub>s</sub>) و چگالی انرژی خروجی  $E_o$  در گستره فشار ۷۰ تا ۱۱۰ تور تقویت کننده، روند صعودی داشته است؛ چگالی انرژی اشباع  $E_s$  ابتدا مقداری ثابت داشته، سپس در فشارهای بالاتر سقوط کرده است. چگالی انرژی دریافت شده از تقویت کننده ابتدا روند صعودی داشته، اما بعد از عبور از بیشینه ای حدود ۹۰ تا

جدول ۱ - نتایج اندازه گیری  $g_0$ ،  $E_s$  و  $E_o$  برای سه آزمایش با شرایط مختلف.

استفاده از گاز N <sub>2</sub> با درجه خلوص تحقیقاتی (Air Product) با الکترودهای نظافت شده AMP p <sub>osc</sub> = 110 torr (C)	استفاده از گاز N <sub>2</sub> با درجه خلوص تحقیقاتی (Air Product) با الکترودهای کار کرده p <sub>osc</sub> = 110 torr (B)	استفاده از گاز N <sub>2</sub> با درجه خلوص تجاری (شرکت سلان شمالی) p <sub>osc</sub> = 110 torr (A)
$p_{AMP} = 70 \text{ torr}$ $g_0 = 0.196 \text{ cm}^{-1}$ $E_s = 43.36 \mu\text{J.cm}^{-2}$ $E_o = 183.7 \mu\text{J.cm}^{-2}$	$p_{AMP} = 70 \text{ torr}$ $g_0 = 0.235 \text{ cm}^{-1}$ $E_s = 36.69 \mu\text{J.cm}^{-2}$ $E_o = 196.93 \mu\text{J.cm}^{-2}$	$p_{AMP} = 70 \text{ torr}$ $g_0 = 0.26 \text{ cm}^{-1}$ $E_s = 30.19 \mu\text{J.cm}^{-2}$ $E_o = 196.92 \mu\text{J.cm}^{-2}$
$p_{AMP} = 80 \text{ torr}$ $g_0 = 0.235 \text{ cm}^{-1}$ $E_s = 43.43 \mu\text{J.cm}^{-2}$ $E_o = 237.24 \mu\text{J.cm}^{-2}$	$p_{AMP} = 80 \text{ torr}$ $g_0 = 0.252 \text{ cm}^{-1}$ $E_s = 38.14 \mu\text{J.cm}^{-2}$ $E_o = 213.82 \mu\text{J.cm}^{-2}$	$p_{AMP} = 80 \text{ torr}$ $g_0 = 0.28 \text{ cm}^{-1}$ $E_s = 29.99 \mu\text{J.cm}^{-2}$ $E_o = 213.18 \mu\text{J.cm}^{-2}$
$p_{AMP} = 90 \text{ torr}$ $g_0 = 0.245 \text{ cm}^{-1}$ $E_s = 44.63 \mu\text{J.cm}^{-2}$ $E_o = 252.02 \mu\text{J.cm}^{-2}$	$p_{AMP} = 90 \text{ torr}$ $g_0 = 0.272 \text{ cm}^{-1}$ $E_s = 37.08 \mu\text{J.cm}^{-2}$ $E_o = 252.45 \mu\text{J.cm}^{-2}$	—
$p_{AMP} = 100 \text{ torr}$ $g_0 = 0.268 \text{ cm}^{-1}$ $E_s = 44.39 \mu\text{J.cm}^{-2}$ $E_o = 287.84 \mu\text{J.cm}^{-2}$	$p_{AMP} = 100 \text{ torr}$ $g_0 = 0.273 \text{ cm}^{-1}$ $E_s = 35.69 \mu\text{J.cm}^{-2}$ $E_o = 234.3 \mu\text{J.cm}^{-2}$	$p_{AMP} = 100 \text{ torr}$ $g_0 = 0.32 \text{ cm}^{-1}$ $E_s = 25.93 \mu\text{J.cm}^{-2}$ $E_o = 234.28 \mu\text{J.cm}^{-2}$
$p_{AMP} = 110 \text{ torr}$ $g_0 = 0.267 \text{ cm}^{-1}$ $E_s = 36.18 \mu\text{J.cm}^{-2}$ $E_o = 259.7 \mu\text{J.cm}^{-2}$	$p_{AMP} = 110 \text{ torr}$ $g_0 = 0.292 \text{ cm}^{-1}$ $E_s = 22.49 \mu\text{J.cm}^{-2}$ $E_o = 172.88 \mu\text{J.cm}^{-2}$	$p_{AMP} = 110 \text{ torr}$ $g_0 = 0.32 \text{ cm}^{-1}$ $E_s = 19.07 \mu\text{J.cm}^{-2}$ $E_o = 172.85 \mu\text{J.cm}^{-2}$



شکل ۴- چگالی انرژی خروجی از تقویت کننده بر حسب ورودی به آن در مقیاس خطی خطی. طول مؤثر الکترودهای تقویت کننده ۳۱ cm و طول کلی آن ۳۴ cm و فاصله بین آن دو الکترود ۷ mm است.



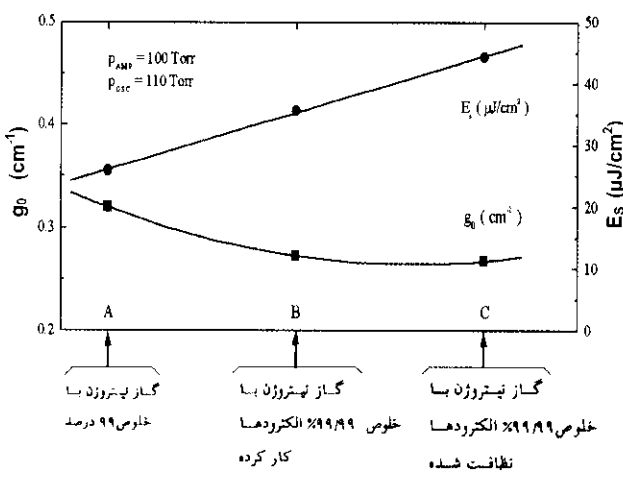
شکل ۵- بهره بر حسب  $\log E_o/E_i$  dB (۱۰) با استفاده از داده های تجربی شکل ۴.

مولکولی، بر مشخصه های عمل تقویت تأثیر گذار باشد. از طرف دیگر، اگر طول مدت پالس ورودی به تقویت کننده بلندتر از طول عمر تراز بالایی محیط لیزری باشد رابطه حالت «مانا» که برای گذارهای پهن شده همگن معتبر است به کار خواهد رفت. در مورد لیزر نیتروژن، به علت آن که طول مدت پالس ورودی به تقویت کننده معمولاً ۲ تا ۵ نانو ثانیه است و تراز بالایی طول



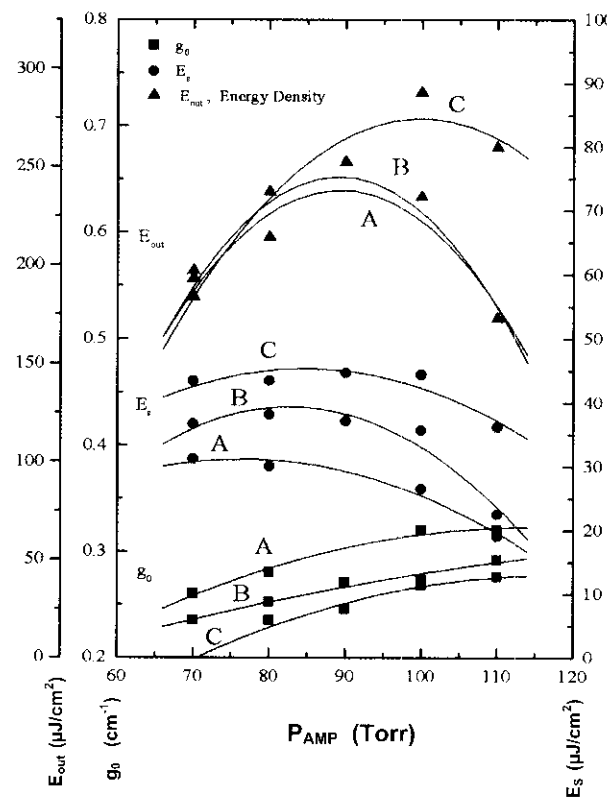
اولیه‌اش خواهد رسید. در واقع تمیز بودن الکتروودها و بکار بردن گاز ناخالص، چگالی انرژی اشباع را تا ۴۰٪ مقدار اولیه‌اش کاهش می‌دهد. اثر عدم نظافت الکتروودها بر ضربیب بهره، افزایشی به مقدار ۱/۹٪ مقدار اولیه‌اش را نشان می‌دهد که نسبتاً جزئی است، لیکن هنگامی که الکتروودها تمیز نباشند و از گاز تجاری دوبار تخلیص شده نیز استفاده شود، مقدار افزایش قابل ملاحظه و به حدود ۱۹/۴٪ مقدار اولیه‌اش خواهد رسید ( $g_0 = 0.32 \text{ cm}^{-1}$ ). در این حالت کاهش چگالی انرژی ۱۸/۶٪ مقدار اولیه‌اش است. خلاصه این نتایج در شکل ۷ آورده شده است.

اکنون اعداد به دست آمده را با چند موردی که مرتبط با گزارش‌های اخیر است مقایسه می‌کنیم. Decchio و همکارانش ضربیب بهره را  $1/277 \text{ cm}^{-1}$  (در فشار ۵۶ تور) و  $1/257 \text{ cm}^{-1}$  (در فشار ۷۷ تور) برای لیزری به طول کانال  $45 \text{ cm}$  گزارش کرده‌اند [۹]. چگالی انرژی آنها در این فشارها  $104/6$  و  $128/8$  میکروژول بر سانتی‌متر مربع است و علت آن ولتاژ کاری بالاتر ( $12/5 \text{ kV}$ ) می‌باشد. نتایج آزمایش Serafetinides و همکارانش در اتمسفر (۷۶۰ تور) مقادیر  $g_0$  و  $E_s$  را به ترتیب  $1/22 \text{ cm}^{-1}$  و  $56/00 \mu\text{Jcm}^{-2}$  برای طول کانال  $50 \text{ cm}$  و ولتاژ  $20 \text{ kV}$  نشان می‌دهند [۱۰]. در کارهای منتشر شده اخیر مان، برای طول کانال  $94 \text{ cm}$  در فشارهای  $23$ ،  $39$  و  $54$  تور تقویت کننده به ترتیب اعداد  $1/0/64 \text{ cm}^{-1}$ ،  $1/0/64 \text{ cm}^{-1}$  و  $1/0/68 \text{ cm}^{-1}$  به دست آمده است و چگالی‌های انرژی  $1/65 \mu\text{Jcm}^{-2}$ ،  $1/42 \mu\text{Jcm}^{-2}$  و  $1/25 \mu\text{Jcm}^{-2}$  [۱۱]. نتایج اندازه‌گیری Jitsuno [۱۲] با استفاده از ۶ مرحله تقویت چه در مقدار ضربیب بهره و چه



شکل ۷- تغییرات  $g_0$  و  $E_s$  بر حسب نوع و درجه خلوص گاز نیتروژن.

۱۰۰ تور، روند نزولی را پیموده است. این نمودارها در شکل ۶ آورده شده‌اند. نمودارهای A در این شکل مربوط به وضعیتی است که از گاز نیتروژن تجاری استفاده شده است (درجه خلوص حدود ۹۹٪). در نمودارهای B نوع گاز تغییر داده شده و گاز خالص تحقیقاتی (با درجه خلوص ۹۹/۹۹٪) را جایگزین کرده‌ایم؛ در نمودارهای C از همان گاز تحقیقاتی استفاده شده است، لیکن الکتروودها را کاملاً صیقلی و تمیز کرده‌ایم به نحوی که سطح الکتروودها عاری از هر گونه نشت‌های ناشی از اکسیده شدن فلز باشد. نتایج اندازه‌گیری در گستره فشارهای کاری روندی شبیه به یکدیگر داشته‌اند. فشار بهینه تقویت کننده در مقابل فشار ثابت ۱۱۰ تور نوسانگر، ۱۰۰ تور است. با توجه به ستون سوم (C) جدول ۱، در این وضعیت  $E_s = 44/39$  میکروژول بر سانتی‌متر مربع است. با توجه به ستون‌های (B) و (C) جدول ۱ می‌بینیم که با تمیز نکردن الکتروودها مقدار سقوط  $E_s$  به ۱۹/۶٪ مقدار اولیه‌اش می‌رسد؛ همچنین با تمیز نکردن الکتروودها و استفاده از گاز تجاری این سقوط به ۴۱/۶٪ مقدار



شکل ۶- تعیین مقادیر  $g_0$ ،  $E_s$  و  $E_{out}$  بر حسب فشار: (A) در تقویت کننده گاز تجاری با دوبار تخلیص به کار برده شده و الکتروودهای نظافت شده، (B) گاز با درجه خلوص ۹۹٪ الکتروودها خلوص ۹۹٪ الکتروودها نظافت شده، (C) گاز با درجه خلوص ۹۹/۹۹٪ الکتروودهای نظافت نشده؛



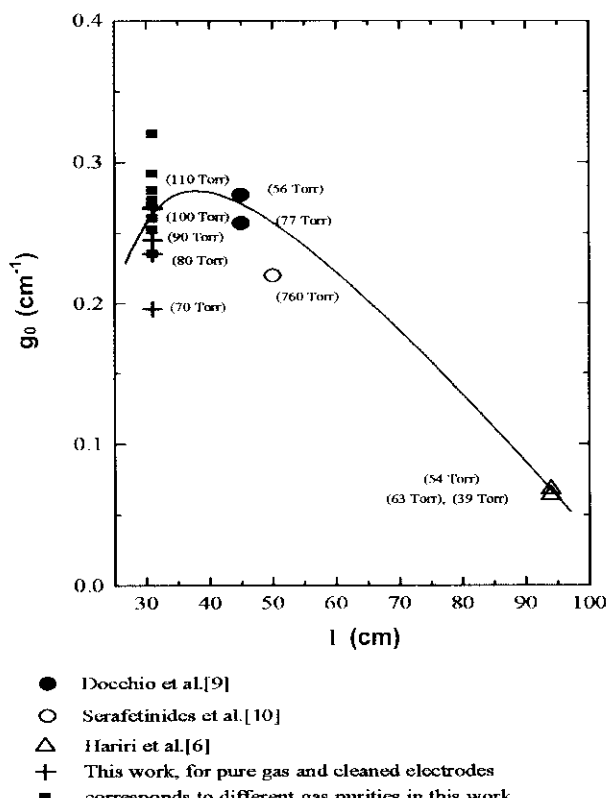
می توان نتیجه گرفت که انتخاب طول کانال بلند سبب می شود که ضریب بهره حاصل بسیار زیادتر از هنگامی باشد که از گاز در درجه خلوص متفاوت استفاده می شود.

#### ۴- نتیجه گیری

در این کار پژوهشی، اثر درجه خلوص گاز در یک لیزر نیتروژن و تمیز کردن الکترودها، با استفاده از ترکیب OSC-AMP روی دو پارامتر لیزری: ضریب بهره و چگالی انرژی اشباع، مورد مطالعه تجربی قرار گرفت و نشان داده شد که بهترین شرایط کاری لیزر به لحاظ انرژی خروجی زمانی حاصل می شود که الکترودها کاملاً تمیز شده باشند و گاز نیتروژن هم با درجه خلوص بالا به کار برد شود. در این صورت، چگالی انرژی اشباع بالاترین مقدار را خواهد داشت. استفاده از گاز  $N_2$  با درجه خلوص تجاری باعث افت خروجی لیزر و در نهایت افت چگالی انرژی اشباع خواهد شد. از طرف دیگر، ضریب بهره کمترین مقدار خود را هنگامی خواهد داشت که الکترودهای AMP کاملاً نظافت شده و از گاز نیتروژن خالص استفاده شده باشد. در این آزمایش در واقع اثرهای عوامل خارجی (نوع گاز و نظافت الکترودها) را روی دو پارامتر لیزری  $g_0$  و  $E_{\text{av}}$  بررسی کردہایم. بدیهی است سایر عوامل، از جمله تغییرات امپدانس سیستم، اضافه کردن گازهای کمکی و تغییر آن اثرهایی خواهد داشت که مشاهده آنها در شناخت سازوکار عملکرد لیزر حائز اهمیت است.

علاوه بر این، نشان دادیم که ضریب بهره بستگی زیادی به طول کانال لیزر دارد و شاید بتوان گفت که در ولتاژ  $14 \text{ kV}$  طول بھینه برای این کانال حدود  $30 \text{ cm}$  است. نمودار به دست آمده از نتایج اندازه گیری های مرتبط با چهار طول کانال متفاوت که دو مورد آن مربوط به گزارش سایر پژوهشگران می باشد نیز ارائه شده است. به طوری که منحنی نشان می دهد تغییرات ضریب بهره نسبت به طول کانال لیزر بسیار بزرگتر از تغییرات ناشی از استفاده از گاز با درجات خلوص متفاوتست؛ در واقع طول کانال نقش اساسی در ضریب بهره لیزرهای نیتروژن دارد.

در انرژی اشباع با سایر اندازه گیری ها در توافق نیست و مقادیر بالاتر گزارش آنها احتمالاً مرتبط به اعمال تقویت های متواتی در نوسانگر - تقویت کننده می باشد. با نمایش ترسیمی اعداد مرتبط با ضریب بهره اندازه گیری شده در گزارش اخیر به طول مؤثر کانال  $31 \text{ cm}$  و سایر اندازه گیری ها به جز مرجع [14]، نمودار شکل ۸ حاصل شده است. این نمودار نشان می دهد که با افزایش طول کانال، ضریب بهره به شدت کاهش می یابد. داده های اندازه گیری  $g_0$  قابل اعتمادی که بتوان مقادیر آن را در طول های کوتاه تر از  $31 \text{ cm}$  استخراج کرد در دسترس نیست، ولی در مقایسه با اندازه گیری ضریب بهره در لیزر  $N_2$  با تحریک طولی می توان استنباط کرد که  $g_0$  در لیزر های نوع TEA و یا TE با افزایش طول کانال لیزر ابتدا روند صعودی داشته و پس از گذر از یک بیشینه، به شدت کاهش می یابد. با توجه به جدول ۱ و با استفاده از داده های مرتبط با فشار  $100 \text{ Torr}$  تقویت کننده مشاهده می شود که بیشینه مقدار تغییرات، هنگامی که از گاز تجاری استفاده می شود، برای ضریب بهره  $\sim 19\%$  است، در حالی که برای دو کانال به طول های  $31$  و  $94$  سانتی متر اختلاف به  $\sim 70\%$  می رسد؛ بنابراین،



شکل ۸- ضریب بهره ( $g_0$ ) بر حسب طول کانال لیزر. اعداد داخل پرانتز در

شکل مرتبط با فشار گاز در عملکرد لیزر می باشند.



## References:

1. A. Hariri, M. Tarkashvand, F. Ardavani, A. A. Yaraghchi, "Experimental investigation of the TE (Transversely Excited) N<sub>2</sub>-Laser", *Scien. Bull. of the AEOI*, **3**, 62-79 (1983).
2. A. Hariri, M. Tarkashvand, A. Karami, "Uniform glow discharges for nano-second excitation of TEA and TE N<sub>2</sub> laser", *Proceedings of National Conference on Lasers and Their Applications*, 12-16, Sep. (1987), Tehran, Iran, edited: A. Hariri.
3. A. Hariri, S.A. Golpayegani, M. Nayeri, "Long pulse operation of a longitudinally discharge-pumped N<sub>2</sub>-laser", *Sci. Bull. Of AEOI*, **9**, 33-41 (1989).
4. A. Hariri, M.Tarkashvand, A. Karami, "Corona-preionized nitrogen laser with variable pulse-width", *Rev. Sci. Instrum.* **61**, 1408-1412 (1990).
5. S. Ghoreyshi, A. H. Farahbod, A. Hariri, "Experimental investigation of self-filtering unstable resonator in a longitudinally excited nitrogen laser", *J. of Nuclear Sci. and Tech.* **25**, 1-8 (2002).
6. A. Hariri, M. Tarkashvand, A. H. Farahbod, "Experimental study of an oscillator-amplifier transversely excited nitrogen laser", *J. of Nuclear Sci. and Tech.* **29**, 17-24, (2003).
7. S. Ghoreyshi, K. Rahimian, A. Hariri, "Double-pass amplification in a longitudinally excited low pressure N<sub>2</sub>-laser", *Proceedings of International Conference on Physics* 427-432, January 6-9 (2004) Tehran, Iran.
8. S. Ghoreyshi, K. Rahimian, A. Hariri, "Gain and saturation energy measurements in low pressure, longitudinally excited N<sub>2</sub>-laser", *Opt. Commun.* **238**, 139-149 (2004).
9. F. Docchio, V. Magni, R. Ramponi, "Thyatron-switched N<sub>2</sub> atmospheric-pressure oscillator, low pressure amplifier laser system", *Rev. Sci. Instrum.* **55**, 477-481 (1984).
10. A. A. Serafctinides, G. N. Tsikrikas, "A semiconductively preionised TEA nitrogen oscillator-amplifier laser system", *Opt. Commun.* **79**, 448-454 (1990).
11. L. M. Frantz, J. S. Nodivk, "Theory of pulse propagation in a laser amplifier", *J. Appl. Phys.* **34**, 2346-2348 (1963).
12. J. Banic, T. Efthimiopoulos, B. P. Stoicheff, "Gain and saturation intensity measurements of mode-locked KrF oscillator-amplifier", *Appl. Phys. Lett.* **37**, 686-688 (1980).
13. T. Jitsuno, "A multi-stage TEA N<sub>2</sub> laser", *J. Phys. D : Appl. Phys.* **13**, 1405-1411 (1980).
14. T. Jitsuno, "A multi-stage TEA N<sub>2</sub> laser", *J. Phys. D : Appl. Phys.* **13**, 1405-1411 (1980).